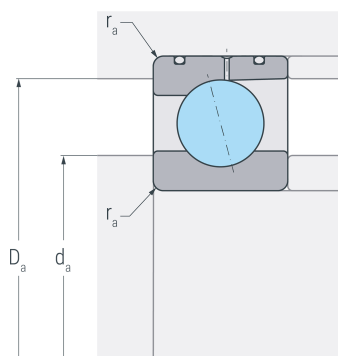
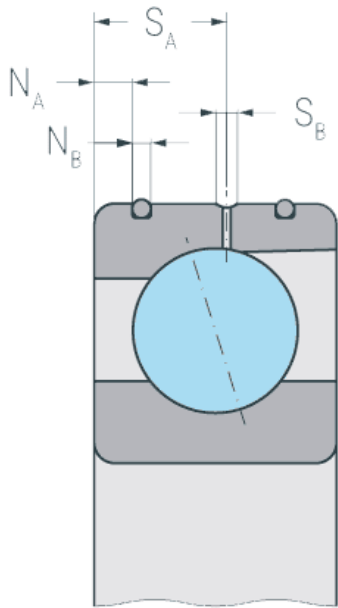
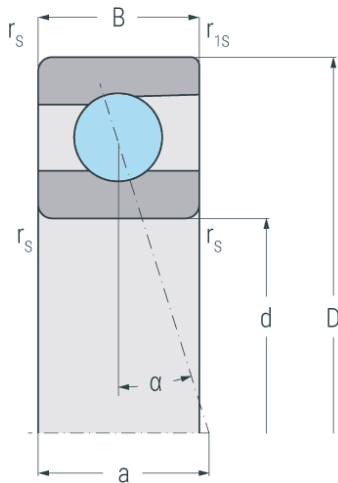


XCBS7014C.DLR.T.P4S

Hybrid-Spindellager für höhere Drehzahlen, angestellt, paar- oder satzweise, Druckwinkel 17°, eine Schmierrille mit zwei Schmierbohrungen, zwei Ringnuten mit O-Ringen, Hartgewebekäfig, eingengte Toleranzen, Ringe aus Cronidur® 30, Wälzkörper aus Siliziumnitrid



Abmessungen

| | | | |
|---------------------------|------|-----|-------------------------|
| d | (mm) | 70 | Bohrungsdurchmesser |
| D | (mm) | 110 | Außendurchmesser |
| B | (mm) | 20 | Breite |
| a | (mm) | 24 | Stützweite |
| r_{s min} | (mm) | 1.1 | minimaler Kantenabstand |
| r_{1s min} | (mm) | 0.6 | minimaler Kantenabstand |

Druckwinkel

| | | | |
|----------------------------|-----|----|-------------|
| α | (°) | 17 | Druckwinkel |
|----------------------------|-----|----|-------------|

DLR-Abmessung

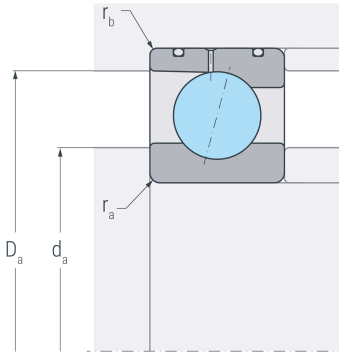
| | | | |
|----------------------|------|------|--------------------------|
| N_B | (mm) | 1.8 | Breite der Nut |
| N_A | (mm) | 4 | Abstand der Nut |
| S_B | (mm) | 1.6 | Breite der Schmierrille |
| S_A | (mm) | 11.6 | Abstand der Schmierrille |

Gewicht

| | | |
|-----------|------|---------|
| kg | 0.55 | Gewicht |
|-----------|------|---------|

XCBS7014C.DLR.T.P4S

Hybrid-Spindellager für höhere Drehzahlen, angestellt, paar- oder satzweise, Druckwinkel 17°, eine Schmierrille mit zwei Schmierbohrungen, zwei Ringnuten mit O-Ringen, Hartgewebekäfig, eingengte Toleranzen, Ringe aus Cronidur® 30, Wälzkörper aus Siliziumnitrid



Anschlussmaße

| | | | |
|--------------------------|------|-----|---------------------------------|
| d_a h12 | (mm) | 77 | Durchmesser der Wellenschulter |
| D_a H12 | (mm) | 102 | Durchmesser der Gehäuseschulter |
| r_a max | (mm) | 1.1 | maximaler Rundungsradius |
| r_b max | (mm) | 0.6 | maximaler Rundungsradius |

Leistungsdaten

| | | | |
|--------------------------|----------------------|-------|---------------------------------|
| C_r | (kN) | 60.2 | dynamische Tragzahl, radial |
| C_{0r} | (kN) | 20.9 | statische Tragzahl, radial |
| C_{ur} | (kN) | 1.96 | Ermüdungsgrenzbelastung, radial |
| n_{G oil} | (min ⁻¹) | 42000 | Grenzdrehzahl, Ölschmierung |
| F_{VL} | (N) | 91 | Vorspannkraft, leicht |
| F_{VM} | (N) | 272 | Vorspannkraft, mittel |
| F_{VS} | (N) | 544 | Vorspannkraft, schwer |
| C_{aL} | (N/μm) | 65 | axiale Steifigkeit, leicht |
| C_{aM} | (N/μm) | 99 | axiale Steifigkeit, mittel |
| C_{aS} | (N/μm) | 130 | axiale Steifigkeit, schwer |
| K_{aEL} | (N) | 355 | Abhebekraft, leicht |
| K_{aEM} | (N) | 958 | Abhebekraft, mittel |
| K_{aES} | (N) | 2060 | Abhebekraft, schwer |